

## Отчет по моделированию №2

### Моделирование зонной структуры одномерного кристалла в модели Кронига–Пенни

Студент: Хрусталев Н. Д.

Группа: М3300

Преподаватель: Хвастунов Н. Н.

## 1. Цель работы

На основании модели Кронига–Пенни промоделировать зонную структуру одномерного кристалла, а именно:

- построить периодический потенциальный рельеф кристалла;
- численно реализовать графический метод решения уравнения Кронига–Пенни;
- получить энергетические зоны и запрещённые щели;
- проанализировать, как меняется ширина запрещённых зон при переходе от свободного электрона к случаю почти непроницаемых барьеров, а также для промежуточных значений параметра потенциала.

## 2. Теоретические сведения

### 2.1. Потенциал периодической решётки

Рассматривается одномерный кристалл с периодическим потенциалом (модель Кронига–Пенни). Потенциал задаётся в виде прямоугольных ям и барьеров:

$$V(x) = \begin{cases} 0, & nc < x < nc + a, \\ U, & nc + a < x < (n+1)c, \end{cases} \quad n = 0, \pm 1, \pm 2, \dots$$

где  $a$  — ширина потенциальной ямы,  $b$  — ширина барьера,  $c = a + b$  — период кристаллической решётки,  $U$  — высота барьера.

Движение электрона в таком поле описывается стационарным уравнением Шредингера

$$-\frac{\hbar^2}{2m} \frac{d^2\psi(x)}{dx^2} + V(x)\psi(x) = E\psi(x),$$

а периодичность потенциала позволяет использовать теорему Блоха: собственные функции имеют вид  $\psi_k(x) = e^{ikx}u_k(x)$ , где  $u_k(x)$  — периодическая функция с периодом  $c$ .

### 2.2. Уравнение Кронига–Пенни

Аналитическое решение задачи приводит к дисперсионному соотношению, связывающему квазимпульс  $k$  и энергию  $E$ . В *дельта-приближении* (когда барьеры узкие и высокие, но имеют конечную площадь) уравнение принимает вид

$$\cos(ka) = \cos(\alpha a) + P \frac{\sin(\alpha a)}{\alpha a},$$

где

$$\alpha^2 = \frac{2mE}{\hbar^2}, \quad x = \alpha a,$$

а безразмерный параметр  $P$  характеризует “силу” барьеров (пропорционален произведению высоты на ширину барьера). При численном моделировании используются безразмерные единицы, в которых  $\hbar^2/2m = 1$ ,  $a = 1$ , тогда  $E = \alpha^2 = x^2$ .

Правая часть уравнения обозначим как

$$f(x; P) = \cos x + P \frac{\sin x}{x}.$$

Слева стоит  $\cos(ka)$ , по модулю не превосходящий единицы. Следовательно, для заданного  $P$  энергия  $E$  (или  $x$ ) допускается только тогда, когда

$$|f(x; P)| \leq 1.$$

Области по  $x$ , где выполняется это неравенство, соответствуют разрешённым энергетическим зонам; промежутки, где  $|f(x; P)| > 1$ , образуют запрещённые зоны (энергетические щели).

### 2.3. Крайние случаи

- **Свободный электрон** ( $P = 0$ ). Тогда  $f(x; 0) = \cos x$ , и условие  $|f| \leq 1$  выполняется для любых  $x$ : спектр непрерывен, запрещённых зон нет, дисперсия  $E = k^2$  (парабола).
- **Непроницаемые стенки** ( $P \rightarrow \infty$ ). При очень больших  $P$  разрешённые области по  $x$  сжимаются к отдельным точкам, и энергетические зоны превращаются в дискретный спектр, близкий к уровням одиночной ямы. Запрещённые щели между зонами становятся очень широкими.
- **Промежуточные значения** ( $0 < P < \infty$ ). При конечных  $P$  имеются полосы разрешённых энергий и запрещённые щели между ними. При увеличении  $P$  ширина зон уменьшается, а ширина щелей растёт.

## 3. Численная реализация

### 3.1. Построение потенциала

Потенциал реализован в виде периодической функции:

- на участке  $nc < x < nc + a$  потенциал равен нулю (потенциальная яма);
- на участке  $nc + a < x < (n + 1)c$  потенциал равен  $U$  (барьер).

График потенциального рельефа строится по набору точек  $x$  в нескольких периодах.

### 3.2. Графический анализ уравнения Кронига–Пенни

Для заданного параметра  $P$  вычисляется массив значений  $f(x; P)$  на сетке по  $x$  (фактически по энергии). На графике совместно изображаются функции  $y = f(x; P)$ ,  $y = 1$  и  $y = -1$ . Участки, где  $|f(x; P)| \leq 1$ , закрашиваются, визуализируя разрешённые зоны.

### 3.3. Нахождение энергетических зон и щелей

Численный алгоритм:

1. Задаётся равномерная сетка значений  $x \in (0, x_{\max})$ .
2. Вычисляется  $f(x_i; P)$  для всех точек сетки.
3. Строится логический массив  $\text{allowed}_i = (|f(x_i; P)| \leq 1)$ .
4. По переходам `False` → `True` и `True` → `False` определяются границы интервалов разрешённых энергий по  $x$ .
5. Каждому интервалу  $[x_{\min}, x_{\max}]$  соответствует энергетическая зона

$$E \in [E_{\min}, E_{\max}] = \left[ \left( \frac{x_{\min}}{a} \right)^2, \left( \frac{x_{\max}}{a} \right)^2 \right].$$

6. Разность между верхней границей одной зоны и нижней границей следующей зоны даёт ширину запрещённой щели.

### 3.4. Построение зависимостей $E(k)$

Для построения зонной структуры в пространстве  $(k, E)$ :

1. Для каждой точки  $x$  с разрешённой энергией вычисляется  $f(x; P)$  и значение  $ka = \arccos(f)$ ,  $k = \frac{1}{a} \arccos(f)$ .
2. Энергия  $E = (x/a)^2$ .
3. Точки  $(k, E)$  и  $(-k, E)$  наносятся на диаграмму для первой зоны Бриллюэна  $|k| \leq \pi/a$ .

## 4. Результаты моделирования

### 4.1. Потенциальный рельеф

На рисунке 1 показан периодический потенциальный рельеф, соответствующий последовательности ям и барьеров. При выбранных параметрах  $a = 1$ ,  $b = 0,8$ ,  $U = 1$  структура потенциала повторяется с периодом  $c = 1,8$ .

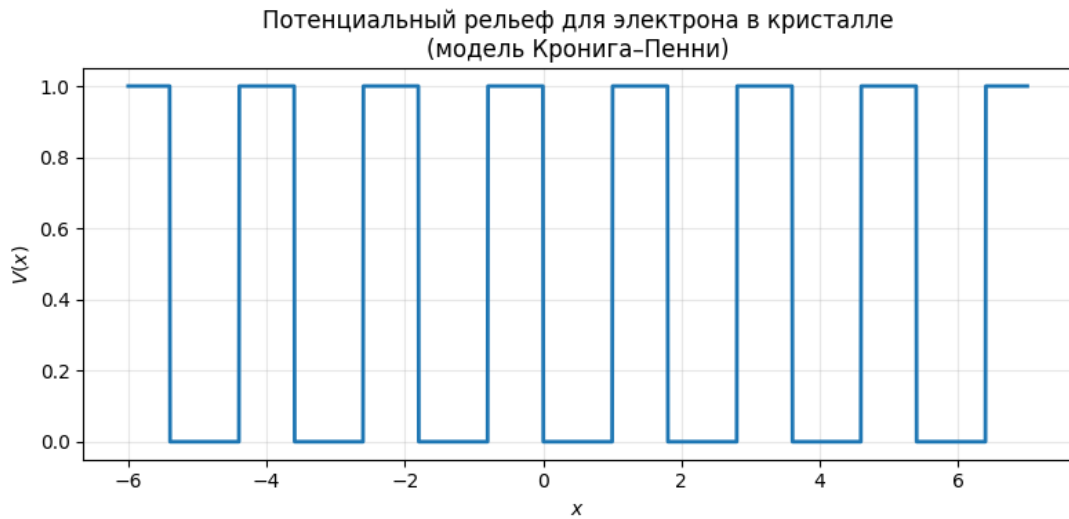


Рис. 1: Потенциальный рельеф в модели Кронига–Пенни.

#### 4.2. Графический анализ уравнения Кронига–Пенни

На рисунках 2–5 представлены графики функции  $f(x; P)$  и линий  $y = \pm 1$  для нескольких значений параметра  $P$ :

- $P = 0$  — свободный электрон;
- $P = 5$  и  $P = 15$  — промежуточные случаи;
- $P = 100$  — почти непроницаемые барьеры.

Области, где  $|f(x; P)| \leq 1$ , закрашены и соответствуют разрешённым энергетическим зонам.

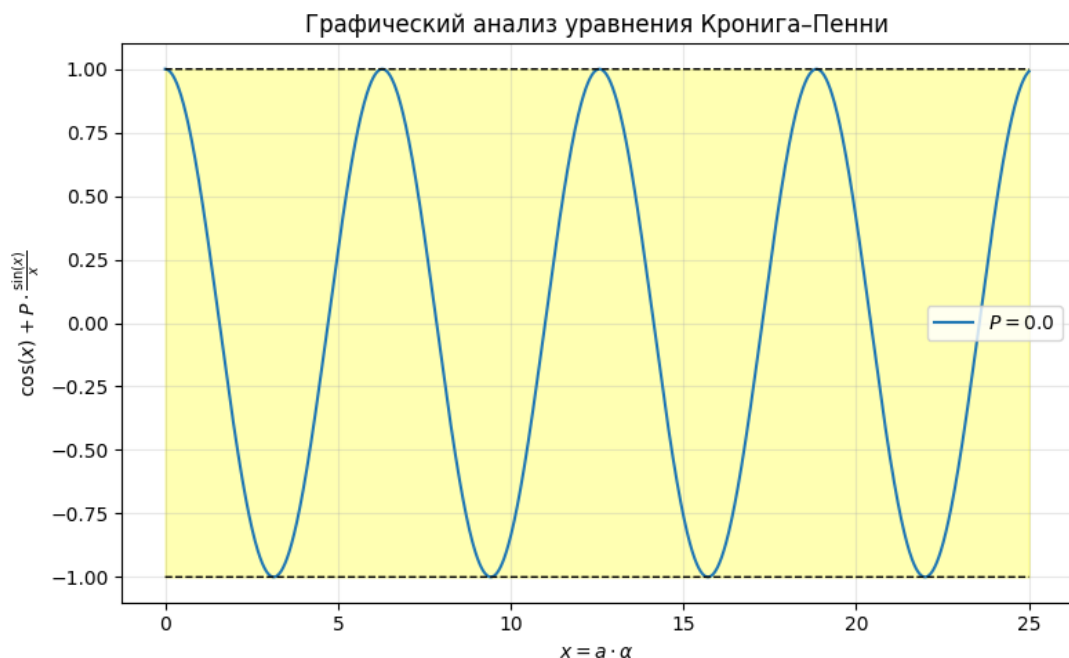


Рис. 2: Графический анализ уравнения Кронига–Пенни,  $P = 0$  (свободный электрон).

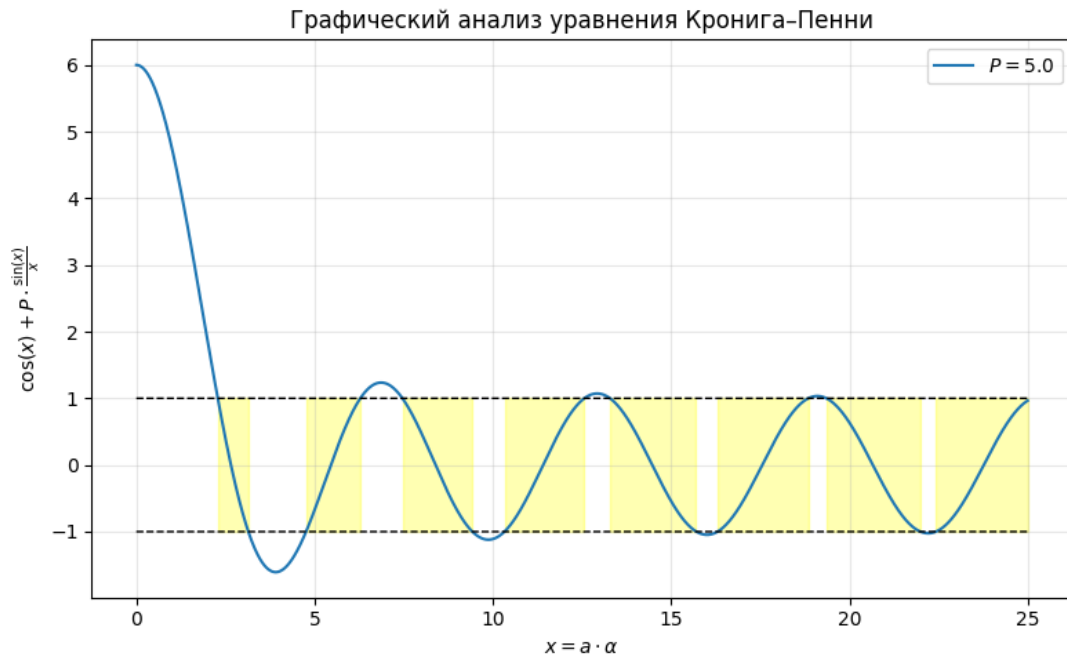


Рис. 3: Графический анализ уравнения Кронига-Пенни,  $P = 5$ .

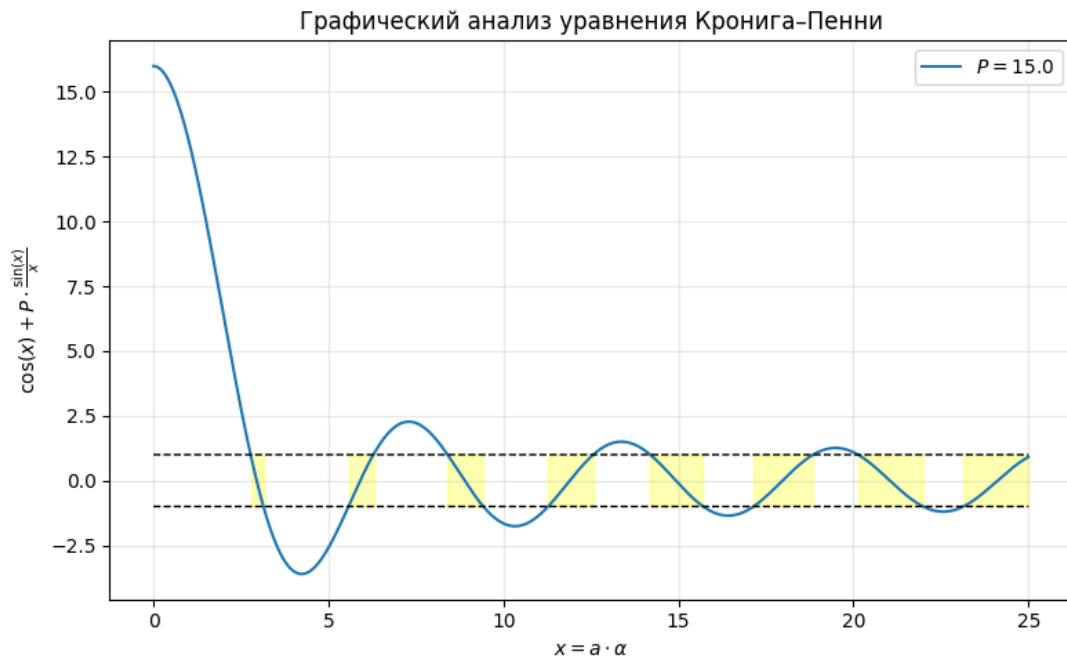


Рис. 4: Графический анализ уравнения Кронига-Пенни,  $P = 15$ .

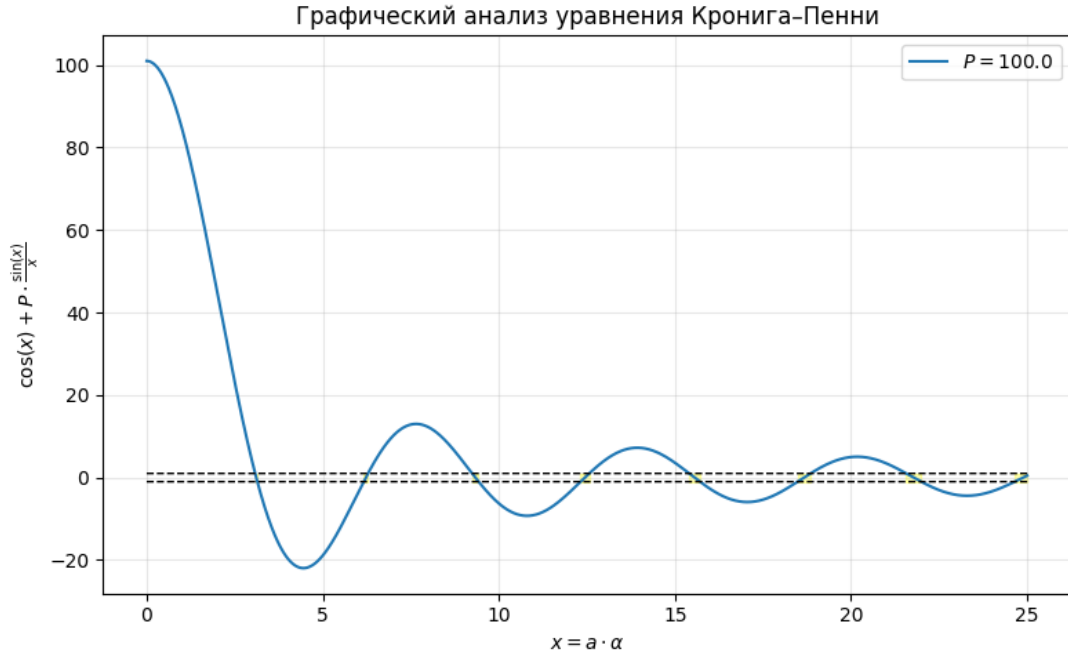


Рис. 5: Графический анализ уравнения Кронига–Пенни,  $P = 100$  (почти непроницаемые барьеры).

#### 4.3. Энергетические зоны и запрещённые щели

Для каждого значения  $P$  численно найдены первые несколько разрешённых зон. В безразмерных единицах (при  $a = 1$ ) получены следующие результаты для первой зоны и первой запрещённой щели:

Таблица 1: Первая энергетическая зона и ширина первой щели при разных значениях параметра  $P$ .

$P$	$E_{1,\min}$	$E_{1,\max}$	$\Delta E_{\text{щели}}$
0	$\approx 0$	очень велика	нет щели
5	5.23	9.87	12.82
15	7.73	9.87	21.22
100	9.51	9.87	28.12

Из таблицы видно, что при увеличении  $P$ :

- **ширина первой зоны** уменьшается (например, для  $P = 5$  зона примерно  $[5,23; 9,87]$ , а для  $P = 100$  уже  $[9,51; 9,87]$ );
- **ширина первой запрещённой щели**  $\Delta E_{\text{щели}}$  заметно растёт (с  $\approx 12,8$  до  $\approx 28,1$ ).

Таким образом, при усилении периодического потенциала электронные зоны “сжимаются”, а запрещённые интервалы энергии расширяются.

#### 4.4. Зонная структура $E(k)$

На рисунке 6 показана зонная структура  $E(k)$  в первой зоне Бриллюэна  $|k| \leq \pi/a$  для разных значений  $P$ .

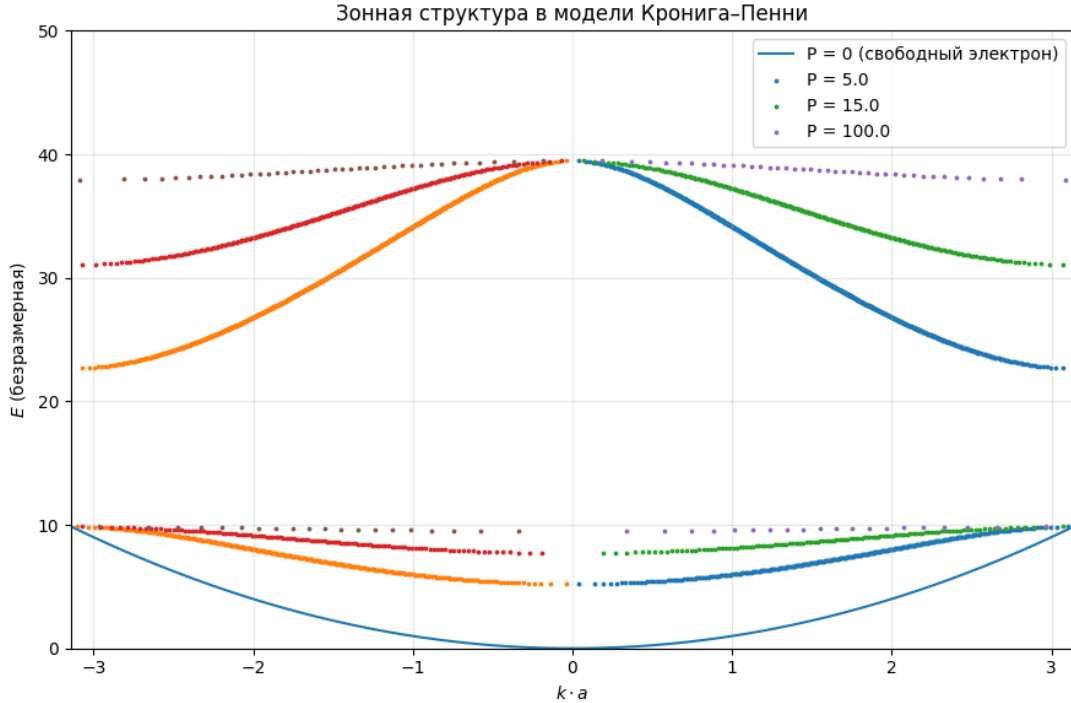


Рис. 6: Зонная структура  $E(k)$  для разных значений параметра  $P$ .

- При  $P = 0$  видна параболическая дисперсия свободного электрона  $E = k^2$ , спектр непрерывен.
- При конечных  $P$  появляются отдельные полосы, разделённые запрещёнными щелями; кривая  $E(k)$  становится “зазубренной”.
- При больших  $P$  (почти непроницаемые барьеры) зоны сильно сжаты по энергии, а щели между ними становятся широкими; это соответствует электронам, локализованным в отдельных ямах, с малыми перекрытиями волновых функций соседних ячеек.

### 5. Обсуждение результатов

Полученные результаты хорошо согласуются с физическими ожиданиями:

1. В отсутствие периодического потенциала ( $P = 0$ ) электрон ведёт себя как свободная частица, спектр является непрерывным, запрещённых щелей нет.
2. При малых, но отличных от нуля значениях  $P$  периодический потенциал приводит к расщеплению непрерывного спектра на полосы и появлению узких запрещённых зон около “точек Бриллюэна” (значения  $k$ , кратные  $\pi/a$ ).
3. При увеличении высоты/ширины барьеров (рост  $P$ ) волновые функции в соседних ячейках всё меньше перекрываются. Энергетические уровни, соответствующие отдельной яме, лишь слабо “размазываются” в зоны, а щели между ними становятся очень широкими.
4. В предельном случае почти непроницаемых барьеров система близка к набору независимых потенциальных ям, и спектр приближается к набору дискретных уровней одиночной ямы.

## 6. Выводы

1. Реализована численная модель одномерного кристалла в рамках модели Кронига–Пенни, построен периодический потенциал и выполнен графический анализ уравнения Кронига–Пенни.
2. С помощью численного алгоритма выделены энергетические зоны и запрещённые щели; построены зависимости  $E(k)$  в первой зоне Бриллюэна.
3. Показано, что при переходе от свободного электрона к случаю почти непроницаемых барьеров:
  - ширина разрешённых зон уменьшается;
  - ширина запрещённых зон монотонно возрастает.
4. Полученные результаты демонстрируют физическую природу зонной структуры твёрдого тела: даже относительно слабый периодический потенциал приводит к возникновению запрещённых энергетических интервалов для электронов в кристалле.